

The background image shows the main entrance gate of Jiaotong University. The gate is a large, white, curved structure with the university's name in English, "JIAOTONG UNIVERSITY", on the right side and in Chinese, "交通大学", on the left. Below the gate is a metal fence and a paved road. To the left of the gate is a building with a large, brown, textured wall. The sky is blue and there are trees in the background.

### 3-3 多项式插值逼近法

# 多项式插值逼近法

**基本思想:** 利用已有的函数信息(比如函数值、梯度值), 构造近似 $\varphi(\alpha)$ 的低次多项式函数(通常不超过三次), 求出其极小点并检验其是否满足非精确线性搜索准则。

**插值法:** 构造 $\varphi(\alpha)$ 的近似多项式函数的提法如下:

- 已知在 $m + 1$ 个不同点 $\alpha_0, \alpha_1, \dots, \alpha_m (\alpha_i > 0, i = 0, \dots, m)$ 处的函数值为:  $\varphi(\alpha_i), i = 0, \dots, m$ .. 欲求 $\varphi(\alpha)$ 的近似多项式需满足:

$$p(\alpha_i) = \varphi(\alpha_i), i = 0, \dots, m$$

- $\alpha_0, \dots, \alpha_m$ 称为插值节点,  $p(\alpha)$ 为插值多项式,  $\varphi(\alpha)$ 为被插函数, 上式为插值条件。

**适用特点:** 当函数具有比较好的解析性质时, 比如导数信息可用, 插值方法比直接方法(如0.618法或Fibonacci法)效果更好。

## 方法1：三点二次插值法

搜索区间 $[a_0, b_0]$ 包含 $\varphi(\alpha)$ 的极小点 $\alpha^*$ ，给定三点 $\alpha_1, \alpha_2, \alpha_3$  满足

$$\alpha_1 < \alpha_2 < \alpha_3, \quad (3.3.1)$$

$$\varphi(\alpha_1) > \varphi(\alpha_2) < \varphi(\alpha_3). \quad (3.3.2)$$

三点满足“高-低-高”分布。

利用三点处的函数值 $\varphi(\alpha_1), \varphi(\alpha_2), \varphi(\alpha_3)$ 构造二次函数，满足插值条件

$$\begin{aligned} p(\alpha_1) &= a\alpha_1^2 + b\alpha_1 + c = \varphi(\alpha_1), \\ p(\alpha_2) &= a\alpha_2^2 + b\alpha_2 + c = \varphi(\alpha_2), \\ p(\alpha_3) &= a\alpha_3^2 + b\alpha_3 + c = \varphi(\alpha_3). \end{aligned} \quad (3.3.3)$$

## 方法1：三点二次插值法

令 $\varphi_i = \varphi(\alpha_i)$ ,  $i = 1, 2, 3$ . 解上述方程组得

$$a = -\frac{(\alpha_2 - \alpha_3)\varphi_1 + (\alpha_3 - \alpha_1)\varphi_2 + (\alpha_1 - \alpha_2)\varphi_3}{(\alpha_1 - \alpha_2)(\alpha_2 - \alpha_3)(\alpha_3 - \alpha_1)}.$$
$$b = \frac{(\alpha_2^2 - \alpha_3^2)\varphi_1 + (\alpha_3^2 - \alpha_1^2)\varphi_2 + (\alpha_1^2 - \alpha_2^2)\varphi_3}{(\alpha_1 - \alpha_2)(\alpha_2 - \alpha_3)(\alpha_3 - \alpha_1)}.$$

二次函数 $p(\alpha)$ 的极小点为

$$\bar{\alpha} = -\frac{b}{2a} = \frac{1}{2} \frac{(\alpha_2^2 - \alpha_3^2)\varphi_1 + (\alpha_3^2 - \alpha_1^2)\varphi_2 + (\alpha_1^2 - \alpha_2^2)\varphi_3}{(\alpha_2 - \alpha_3)\varphi_1 + (\alpha_3 - \alpha_1)\varphi_2 + (\alpha_1 - \alpha_2)\varphi_3}. \quad (3.3.4)$$

上式称为**三点二次插值公式**。

## 方法1：三点二次插值法

这个公式也可以直接利用二次拉格朗日插值公式

$$\begin{aligned} L(\alpha) = & \frac{(\alpha - \alpha_2)(\alpha - \alpha_3)}{(\alpha_1 - \alpha_2)(\alpha_1 - \alpha_3)}\varphi_1 + \frac{(\alpha - \alpha_1)(\alpha - \alpha_3)}{(\alpha_2 - \alpha_1)(\alpha_2 - \alpha_3)}\varphi_2 \\ & + \frac{(\alpha - \alpha_1)(\alpha - \alpha_2)}{(\alpha_3 - \alpha_1)(\alpha_3 - \alpha_2)}\varphi_3, \end{aligned}$$

并令 $L'(\alpha) = 0$ 得到。

# 方法1：三点二次插值法

## 算法3.3.1 – 三点二次插值法

**步0** 初始化：给出满足'高-低-高'分布的 $\alpha_1, \alpha_2, \alpha_3$ ;

**步1** 由公式(3.3.4)计算 $\bar{\alpha}$ ;

**步2** 比较 $\bar{\alpha}$ 和 $\alpha_2$ 的大小，若 $\bar{\alpha} > \alpha_2$ ，则转步3；否则，转步4。

**步3** 若 $\bar{\varphi} \leq \varphi_2$ ，则 $\alpha_1 \leftarrow \alpha_2$ ， $\alpha_2 \leftarrow \bar{\alpha}$ ， $\varphi_1 \leftarrow \varphi_2$ ， $\varphi_2 \leftarrow \bar{\varphi}$ ，转步5；否则， $\alpha_3 \leftarrow \bar{\alpha}$ ， $\varphi_3 \leftarrow \bar{\varphi}$ ，转步5。

**步4** 若 $\bar{\varphi} \leq \varphi_2$ ，则 $\alpha_3 \leftarrow \alpha_2$ ， $\alpha_2 \leftarrow \bar{\alpha}$ ， $\varphi_3 \leftarrow \varphi_2$ ， $\varphi_2 \leftarrow \bar{\varphi}$ ，转步5；否则， $\alpha_1 \leftarrow \bar{\alpha}$ ， $\varphi_1 \leftarrow \bar{\varphi}$ ，转步5。

**步5** 若收敛准则满足，停止迭代；否则，转步1，在新搜索区间 $[\alpha_1, \alpha_3]$ 上按公式(3.3.4) 计算 $\bar{\alpha}$ 。

# 方法1：三点二次插值法

终止准则：令  $\bar{\varphi} = \varphi(\bar{\alpha})$

- 情形1：端点函数值绝对值较大时

$$|\varphi_2 - \bar{\varphi}| \leq \varepsilon_1 |\varphi_2|, \quad \text{当 } |\varphi_2| > \varepsilon_2 \text{ 时,}$$

- 情形2：端点函数值绝对值较小时

$$|\varphi_2 - \bar{\varphi}| \leq \varepsilon_1, \quad \text{当 } |\varphi_2| < \varepsilon_2 \text{ 时,}$$

以上两种情形之一成立被认为收敛准则满足。如果  $\bar{\varphi} < \varphi_2$ ，则极小点估计为  $\bar{\alpha}$ ，否则为  $\alpha_2$ 。这里通常取  $\varepsilon_1 = 10^{-3}$ ， $\varepsilon_2 = 10^{-5}$ 。

若终止准则不满足，则从  $\alpha_1, \alpha_2, \alpha_3$  和  $\bar{\alpha}$  中选出相邻的三个点，将原来的搜索区间例如  $[\alpha_1, \alpha_3]$  缩小。

**可以证明：**如果  $\varphi(\alpha)$  四阶连续可微， $\alpha^*$  满足  $\varphi'(\alpha^*) = 0$ ， $\varphi''(\alpha^*) \neq 0$ ，则三点二次插值法(3.3.4)产生的序列  $\{\alpha_k\}$  的收敛阶约为1.32。

## 三点二次插值法-算例

例3.3.1 用三点二次插值法求：

$$\min_{t \geq 0} \varphi(t) = t^3 - 3t + 2$$

的近似最优解(精确解为 $t^* = 1$ ). 设初始搜索区间为 $[0, 3]$ , 初始插值点为 $t_0 = 2$ , 终止误差为 $\varepsilon = 0.05$ 。

解： 取初始三点为： $\alpha_1^{(0)} = a = 0, \alpha_2^{(0)} = t_0 = 2, \alpha_3^{(0)} = b = 3$

第一次迭代： 计算三点函数值分别为：

$$\varphi(\alpha_1^{(0)}) = 2, \varphi(\alpha_2^{(0)}) = 4, \varphi(\alpha_3^{(0)}) = 20,$$

利用公式(3.3.4)计算得到：

$$\bar{\alpha}^{(0)} = 0.9.$$

由于 $|\bar{\alpha}^{(0)} - \alpha_2^{(0)}| = 1.1 > \varepsilon$ , 继续迭代。由于 $\bar{\alpha}^{(0)} = 0.9 \leq \alpha_2^{(0)} = 2$ , 且 $\varphi(\bar{\alpha}^{(0)}) = 0.029 \leq \varphi(\alpha_2^{(0)}) = 4$ , 故令：

$$\alpha_1^{(1)} := \alpha_1^{(0)} = 0, \alpha_2^{(1)} := \bar{\alpha}^{(0)} = 0.9, \alpha_3^{(1)} := \alpha_2^{(0)} = 2$$



## 三点二次插值法-算例

第二次迭代：重新计算三点函数值分别为：

$$\varphi(\alpha_1^{(1)}) = 2, \varphi(\alpha_2^{(1)}) = 0.029, \varphi(\alpha_3^{(1)}) = 4,$$

利用公式(3.3.4)计算得到： $\bar{\alpha}^{(1)} = 0.82759$ . 由于 $|\bar{\alpha}^{(1)} - \alpha_2^{(1)}| = 0.07241 > \varepsilon$ , 继续迭代。由于 $\bar{\alpha}^{(1)} = 0.82759 \leq \alpha_2^{(1)} = 2$ , 且 $\varphi(\bar{\alpha}^{(1)}) = 0.08405 \geq \varphi(\alpha_2^{(1)}) = 0.029$ , 故令：

$$\alpha_1^{(2)} := \bar{\alpha}^{(1)} = 0.82759, \alpha_2^{(2)} := \alpha_2^{(1)} = 0.9, \alpha_3^{(2)} := \alpha_3^{(1)} = 2$$

第三次迭代：继续计算三点函数值分别为：

$$\varphi(\alpha_1^{(2)}) = 0.08405, \varphi(\alpha_2^{(2)}) = 0.029, \varphi(\alpha_3^{(2)}) = 4,$$

利用公式(3.3.4)计算得到： $\bar{\alpha}^{(2)} = 0.96577$ . 由于 $|\bar{\alpha}^{(2)} - \alpha_2^{(2)}| = 0.06577 > \varepsilon$ , 继续迭代。由于 $\bar{\alpha}^{(2)} = 0.96577 \geq \alpha_2^{(2)} = 0.9$ , 且 $\varphi(\bar{\alpha}^{(2)}) = 0.00347 \leq \varphi(\alpha_2^{(2)}) = 0.029$ , 故令：

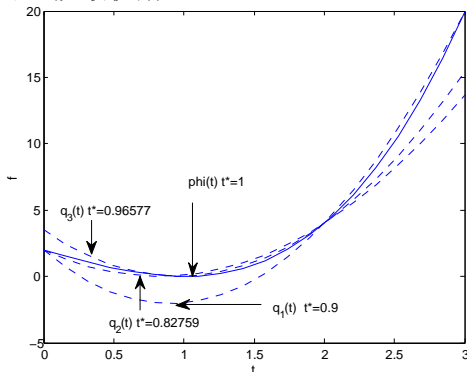
$$\alpha_1^{(3)} := \alpha_2^{(2)} = 0.9, \alpha_2^{(3)} := \bar{\alpha}^{(2)} = 0.96557, \alpha_3^{(3)} := \alpha_3^{(2)} = 2$$

# 三点二次插值法-算例

第四次迭代： 再次计算三点函数值分别为：

$$\varphi(\alpha_1^{(3)}) = 0.029, \varphi(\alpha_2^{(3)}) = 0.00347, \varphi(\alpha_3^{(3)}) = 4,$$

利用公式(3.3.4)计算得到： $\bar{\alpha}^{(3)} = 0.98308$ . 由于 $|\bar{\alpha}^{(3)} - \alpha_2^{(3)}| = 0.01731 < \varepsilon$ , 停止迭代，输出近似最优解： $\bar{\alpha}^{(3)} = 0.98308$ 。



## 方法2：两点二次插值法(I)

给出不同的两点 $\alpha_1, \alpha_2$ , 函数值 $\varphi(\alpha_1), \varphi(\alpha_2)$ , 及导数值 $\varphi'(\alpha_1)$ 或 $(\varphi'(\alpha_2))$ , 构造二次插值多项式

$$p(\alpha) = a\alpha^2 + b\alpha + c, \quad (3.3.5)$$

取 $p(\alpha)$ 的极小点为 $\varphi(\alpha)$ 的极小点的近似值。显然, 令 $p'(\alpha) = 2a\alpha + b = 0$ , 得 $p(\alpha)$ 的极小点为:

$$\bar{\alpha} = -\frac{b}{2a}. \quad (3.3.6)$$

考虑插值条件

$$\begin{aligned} p(\alpha_1) &= a\alpha_1^2 + b\alpha_1 + c = \varphi(\alpha_1), \\ p(\alpha_2) &= a\alpha_2^2 + b\alpha_2 + c = \varphi(\alpha_2), \\ p'(\alpha_1) &= 2a\alpha_1 + b = \varphi'(\alpha_1). \end{aligned} \quad (3.3.7)$$

## 方法2：两点二次插值法(I)

记 $\varphi_i = \varphi(\alpha_i)$ ,  $\varphi'_i = \varphi'(\alpha_i)$ ,  $i = 1, 2$ . 解上述方程组,得:

$$a = \frac{\varphi_1 - \varphi_2 - \varphi'_1(\alpha_1 - \alpha_2)}{-(\alpha_1 - \alpha_2)^2}, \quad (3.3.8)$$

$$b = \varphi'_1 + 2\alpha_1 \frac{\varphi_1 - \varphi_2 - \varphi'_1(\alpha_1 - \alpha_2)}{(\alpha_1 - \alpha_2)^2}. \quad (3.3.9)$$

$$\begin{aligned} \bar{\alpha} &= -\frac{b}{2a} = \alpha_1 + \frac{1}{2} \frac{\varphi'_1(\alpha_1 - \alpha_2)^2}{\varphi_1 - \varphi_2 - \varphi'_1(\alpha_1 - \alpha_2)} \\ &= \alpha_1 + \frac{1}{2} \frac{\alpha_1 - \alpha_2}{\frac{\varphi_1 - \varphi_2}{\varphi'_1(\alpha_1 - \alpha_2)} - 1} \\ &= \alpha_1 - \frac{1}{2} \frac{(\alpha_1 - \alpha_2)\varphi'_1}{\varphi'_1 - \frac{\varphi_1 - \varphi_2}{\alpha_1 - \alpha_2}}. \end{aligned} \quad (3.3.10)$$

## 方法2：两点二次插值法(I)

于是得到如下迭代格式

$$\alpha_{k+1} = \alpha_k - \frac{1}{2} \frac{(\alpha_k - \alpha_{k-1})\varphi'_k}{\varphi'_k - \frac{\varphi_k - \varphi_{k-1}}{\alpha_k - \alpha_{k-1}}}. \quad (3.3.11)$$

特别取 $\alpha_1 = 0, \alpha_2 = \alpha_0$ ,则有

$$\bar{\alpha} = -\frac{1}{2} \frac{\varphi'(0)\alpha_0^2}{\varphi(\alpha_0) - \varphi(0) - \varphi'(0)\alpha_0}. \quad (3.3.12)$$

## 方法2：两点二次插值法(II)

给出不同的两点 $\alpha_1, \alpha_2$ , 函数值 $\varphi(\alpha_1)$ , 及导数值 $\varphi'(\alpha_1), \varphi'(\alpha_2)$ , 构造二次插值多项式。要求插值多项式满足插值条件

$$\begin{aligned}p(\alpha_1) &= a\alpha_1^2 + b\alpha_1 + c = \varphi(\alpha_1), \\p'(\alpha_1) &= 2a\alpha_1 + b = \varphi'(\alpha_1), \\p'(\alpha_2) &= 2a\alpha_2 + b = \varphi'(\alpha_2).\end{aligned}\tag{3.3.13}$$

令 $\varphi_i = \varphi(\alpha_i), \varphi'_i = \varphi'(\alpha_i), i = 1, 2$ .

类似于前面的讨论可以得到

$$\bar{\alpha} = -\frac{b}{2a} = \alpha_1 - \frac{\alpha_1 - \alpha_2}{\varphi'_1 - \varphi'_2} \varphi'_1.\tag{3.3.14}$$

## 方法2：两点二次插值法(II)

上式可写成迭代格式

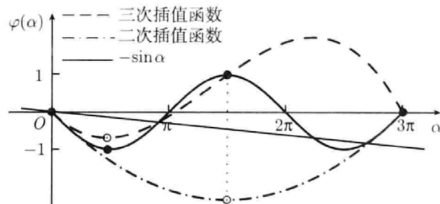
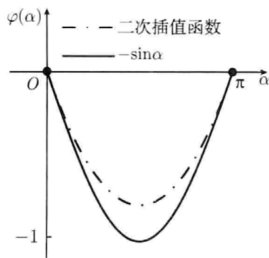
$$\alpha_{k+1} = \alpha_k - \frac{\alpha_k - \alpha_{k-1}}{\varphi'_k - \varphi'_{k-1}} \varphi'_k. \quad (3.3.15)$$

上式也称为**割线公式**。

**可以证明：** 两点二次插值法(3.3.11)与(3.3.15)的收敛阶约为1.618，即具有超线性收敛速度。

## 二次插值与三次插值对比

左图：对  $\varphi(\alpha) = -\sin \alpha$ ，在  $0, \pi$  两点进行二次插值，右图：在  $0, 3\pi$  进行二次插值，在  $0, \frac{3}{2}\pi, 3\pi$  三点进行三次插值



图中直线表示： $f_k + \rho_k g_k^T d_k \alpha$ ，在二次插值函数极小点处，不满足非精确搜索的下降条件，但三次插值极小点处满足。



## 方法3：三点三次插值法

已知三个点 $0, \alpha_1 > 0, \alpha_2 > 0$ 三点可知四个插值数据:

$$\varphi(0), \varphi'(0), \varphi(\alpha_0), \varphi(\alpha_1)$$

设插值函数为:

$$p(\alpha) = a\alpha^3 + b\alpha^2 + c\alpha + d$$

由插值条件:  $d = \varphi(0), c = \varphi'(0)$  及:

$$a\alpha_0^3 + b\alpha_0^2 + \varphi'(0)\alpha_0 = \varphi(\alpha_0)$$

$$a\alpha_1^3 + b\alpha_1^2 + \varphi'(0)\alpha_1 = \varphi(\alpha_1)$$

解如下方程组得到 $a, b$ :

$$\begin{bmatrix} a \\ b \end{bmatrix} = \frac{1}{\alpha_0^2 \alpha_1^2 (\alpha_1 - \alpha_0)} \begin{bmatrix} \alpha_0^2 & -\alpha_1^2 \\ -\alpha_0^3 & \alpha_1^3 \end{bmatrix} \begin{bmatrix} \varphi(\alpha_1) - \varphi(0) - \varphi'(0)\alpha_1 \\ \varphi(\alpha_0) - \varphi(0) - \varphi'(0)\alpha_0 \end{bmatrix}$$

## 方法3：三点三次插值法

由 $p'(\alpha) = 0$ 可求得极小点 $\alpha_2$ .

下一步迭代的插值数据可选为：

- $\varphi(0), \varphi'(0), \varphi(\alpha_1), \varphi(\alpha_2)$
- 或者从 $0, \alpha_0, \alpha_1, \alpha_2$ 中选 $\varphi(\alpha_i)$ 具有“高-低-高”特性的三个点.

下图为对函数 $-\sin \alpha$ 在 $0, \frac{1}{2}\pi, \pi$ 三点进行三次插值情形：

